

ALT ÇENE KONDİLİNİ TANIMLAYAN NOKTALARIN GÜVENİLİRLİĞİ

Prof. Dr. Hakan N. İŞCAN*
Doç. Dr. Müfidə DİNÇER*
Yrd. Doç. Dr. Emel YÜCEL-EROĞLU*

ÖZET: Maksimum ağız açıklığında alınan lateral sefalometrik grafilerde, kondile ilişkin noktaların daha net görüntü verdikleri kabul edilerek yapılan bu araştırmada, sentrik oklüz yonda ve ağız maksimum açılıkta alınan sefalometrik grafilerde belirlenen alt çene kondiline ilişkin noktaların güvenilirliği ve kapalı grafilerde ilgili noktaların konumlarının tahmin edilebilirliği incelendi. Araştırma materyalini, kemik yaşı ortalamaları 8 yıl 10 ay olan 19'u kız 11'i erkek toplam 30 bireyden maksimum ağız açıklığında ve sentrik oklüz yonda elde edilen lateral sefalometrik grafalar oluşturdu. Kondile ilişkin noktaların güvenilirliği güvenilirlik indeksi, Houston'ın ve geliştirilen modifiye formüllere göre hesaplanan random metot hatası ve güvenilirlik katsayısı değerlerinden yararlanılarak incelendi. Kapalı grafilerde belirlenen kondile ilişkin noktaların tahmin edilebilirliğinin değerlendirilmesinde doğrusal korelasyon ve regresyon analizleri kullanıldı. Bulguların değerlendirilmesi sonucunda, kapalı grafilerde kondile ilişkin noktaların belirlenmesinde kabul edilemeyecek düzeyde yüksek bir random metot hatasının ortaya çıktığı ve bu grafilerde noktaların belirlenmesinin güvenilir olmadığı bulundu. Kondile ilişkin noktaların belirlenmesinden kaynaklanan random metot hatasının ortadan kaldırılmasında, açık grafilerden elde edilen ve riye göre kapalı grafilerde kondile ilişkin bu noktaların tahmini için geliştirilen regresyon denklemlerinin kullanımının gelecekte yapılacak çalışmalar için faydalı olacağının sonucuna varıldı.

Anahtar Kelimeler: Kondil, Güvenilirlik, Random hata

SUMMARY: THE RELIABILITY OF THE CONDYLAR LANDMARKS In this study which was based on the assumption that the open mouth cephalogram provides a clearer image of condyle, the reliability of the condylar landmarks were evaluated both in the closed and open mouth cephalograms, and their predictability in the closed mouth cephalograms were also investigated. The material of this study was derived from the open and closed mouth lateral cephalograms of 19 girls and 11 boys with the mean skeletal age of 8 years 10 months. The reliability of the landmarks were studied by calculating the random method error and the reliability coefficient described as Houston and its modification, and the reliability index were also calculated. The linear correlation and linear regression analyses were used to investigate the predictability of the landmarks identified in the closed mouth lateral cephalograms. As a result of the findings, the identification of the condylar landmarks showed unacceptably higher values of random method error and their identification were found not to be reliable in the closed mouth position. It was believed that using the developed regression equations derived from the data of open mouth lateral cephalograms for the prediction of condylar landmarks in the closed mouth lateral cephalograms

would be helpful to eliminate the identification random errors of condylar landmarks in the future researches.

Key Words: Condyle, Reliability, Random Error

GİRİŞ

Alt çenenin büyümeye yönü ve rotasyonu üzerine doğrudan etkiye sahip olan alt çene kondilinin büyümeye yönü ve miktarı ile ilgili çalışmaların (1, 2, 3, 4, 5, 6) artışı, dikkatlerin kondil üzerinde yoğunlaşmasına yol açmaktadır ve araştırmalarda alt çene kondiline yönelik ölçümlere yer verilmektedir. Ancak alt çene kondilinin, sentrik oklüz yonda çekilmiş lateral sefalometrik grafilerde net olarak görülememesi, kondilyon noktası yerine artikülare noktasının kullanılabilirliğinin incelenmesini (7), maksimum ağız açıklığında ve sentrik oklüz yonda alınmış lateral sefalometrik grafiler üzerinde ayrı ayrı yapılan alt çene kondilene ilişkin aynı ölçümlerin karşılaştırılmasını (8, 9, 10) düşündürmüştür. Ancak aynı bireylerden ve birbirine çok yakın zaman dilimi içinde alınmış olsa da, farklı iki grafide aynı bölgeye ait iki ölçümün birbirleri yerine kullanılabilmesi için bu iki ölçüm arasındaki ilişki düzeyi, iki ölçümün birbiri yerine kullanılmasındaki hata payı gibi bazı bilgilerin tespiti edilmesi gerekmektedir.

Biyometrik olarak iki grubun karşılaştırılmasında üç tür varyasyon kaynağı bulunmaktadır (11). Bunlar: 1- Gruplararası; iki örnekleme arasındaki gerçek farklılığı bağlı olan, 2- Bireyler arası; biyolojik varyasyona bağlı olan, 3- Bireyler içi; ölçüm hatasına (metot hatası) bağlı olan varyasyon kaynaklarıdır. Sefalometrik grafilerin çizim ve ölçümlerine ilişkin metot hataları "Sistematis" veya "Random" türünde olabilmektedir. Araştırmalarda her iki tür metot hatasının test edilmesi çok önemlidir (12); zira sistematis metot hatası; a) farklı şartlarda alınan grafilerin kullanılmasına, b) farklı araştırmacılar tarafından ölçülen değerlerin kullanılmasına, c) çizim ve ölçümlerin geniş bir zaman kesintide yapılması ve bu sürede araştırmacıların sefalometrik nokta konumları konusundaki bilgi ve tecrübesinin değişmesine, d) araştırmadaki gruplara ilişkin grafilerin çizim ve ölçümleri yapıldıktan sonra taraflı davranışarak değerlendirme yapmasına bağlı olarak; random metot hatası ise, a) hastanın farklı zamanlarda farklı şekilde sefalostata yerleştirilmesi veya hastaların farklı şekilde sefalostata yerleştirilmesi, b) film dansitesi ve netliğin farklı olması, c) belli bir noktanın yerinin belirlenmesindeki zorluk, d) belli bir noktanın tanımdaki yanlış veya eksiklik sonucu ortaya çıkmaktadır (12).

* G.U. Dişhekimliği Fakültesi Ortodonti Anabilim Dalı Öğretim Üyesi

Sefalometrik araştırmalarda "Sistematiğ Hata"ının belirlenmesinde kullanılan en basit yöntem eşleştirilmiş t-testi olmasına rağmen, teste ilişkin bulguların değerlendirilmesinde gözönüne bulundurulması gereken bazı faktörler vardır (12); 1- Vaka sayısı en az yirmibeş olmak üzere yeterli sayıda vaka ölçümü tekrarlanmalı; aksi takdirde önemli düzeyde olan sistematiğ hatanın belirlenmesi mümkün olamayabilmektedir, 2- Farkın standart sapması diğer varyasyon kaynaklarına (örneğin random metot hatasının yüksek olması gibi) bağlı olarak fazla ise önemli düzeyde olan sistematiğ hata belirlenemeyebilir, 3- Seçilen önemlilik düzeyi hatanın değerlendirildiği çalışmalarla önemli olup %:10 düzeyinde saptanmış biyometrik önem dahi gözardı edilmemelidir (12). Yapılan kaynak taramalarında, alt çene kondiline yönelik ölçümlelerin güvenililiği konusundaki araştırmalar arasında sistematiğ metot hmasını etkileyebilecek random metot hmasını değerlendiren bir araştırmaya rastlanılmamaktadır.

Sefalometrik araştırmalarda ortaya çıkan random metot hatanın en önemli göstergesi farkın (hatanın) standart sapmasıdır. Houston (12)'a göre random metot hatası doğal biyolojik varyasyonu etkileyerek gruplararası gerçek farkın belirlenmesini engelleyebilir ve ayrıca değişkenler arası koreasyonun da değerini düşürebilir. Random metot hatanın düzeyinin hesaplanmasıyla kullanılmak üzere çeşitli formüller önerilmiştir (11, 12). Bunun yanısıra, total varyans içinde random metot hatanın payını değerlendirmeyi mümkün kılan güvenililik katsayısi ve tekrarlanan ölçümler arasındaki koreasyonu değerlendiren varyans analizi yardımıyla hesaplanan güvenililik indeksi de random metot hatasının değerlendirilmesinde kullanılmaktadır (11, 12).

Bu araştırma; 1) Maksimum ağız açıklığında ve sentrik oklüzyonda alınmış lateral sefalometrik graflerden yararlanarak alt çene kondilini tanımlayan noktaların güvenilirliğinin belirlenmesi, 2) Kondil konumuyla ilgili olarak, çok daha net görüntü veren maksimum ağız açıklığında alınmış graflerden elde edilen verilere göre, yalnız sentrik oklüzyonda alınacak graflerde kondil konumunun regresyon analizi ile tahmin edilebilirliğinin incelenmesi, 3) Yapılacak araştırmalarda yalnız sentrik oklüzyonda alınan grafler kullanıldığında, bu bölgeye ilişkin noktaların belirlenmesinden kaynaklanan random metot hmasını oluşturacak regresyon denklemleri yardımıyla azaltabilmenin mümkün olup olmadığına araştırılması amacıyla yapıldı.

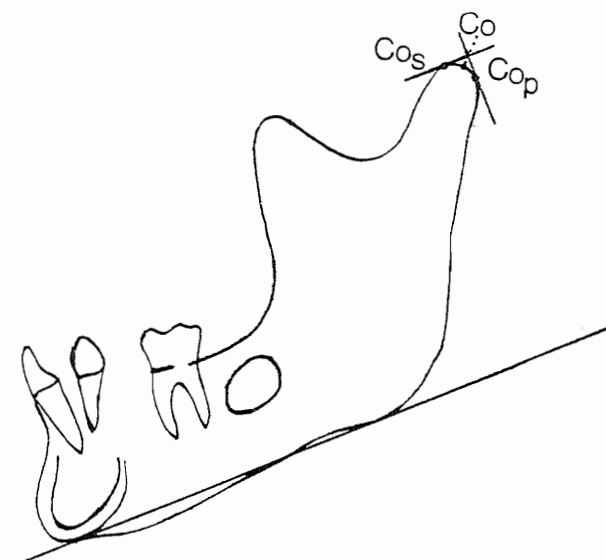
MATERIAL VE METOD

Kronolojik yaşıları 7 yıl 7 ay ile 11 yıl 11 ay arasında ortalamada 9 yıl 3 ay, iskelet yaşıları 7 yıl ile 10 yıl 6 ay arasında ortalamada 8 yıl 10 ay olan 19'u kız ve 11'i erkek toplam 30 bireyden; 1) ağız maksimum açıklıkta (ağız açık), 2) sentrik oklüzyonda (ağız kapalı) standart şartlar altında aynı seansda alınan toplam 60 adet lateral sefalometrik grafi araştırmmanın materyalini oluşturmaktadır.

Her iki durumda alınan sefalometrik grafler açık ve kapalı olarak 2 gruba ayrılarak; bir gruptaki grafler bir araştırmacı, diğer gruptaki grafler diğer bir araştırmacı tarafından çizildikten sonra, gruplar değiştirilerek çizimler tekrarlandı. İki araştırmacının her grafiye ilişkin çizimleri arasında görülen sapmalar birlikte tartışılarak sonuç çizimleri oluşturuldu. Daha sonra yapılacak ölçümler için de aynı işlemler tekrarlandı.

Ağız maksimum açıklıkta alınan sefalometrik grafinin çizimi üzerinde mandibular düzlem (menton-ramus alt kenarına teğet) belirlenerek, mandibular yapılarında maksimum çakıştırma ile bu düzlem sentrik oklüzyonda alınan sefalometrik grafiye aktarıldı. Her iki grafe de mandibular düzleme paralel çizilen teğetin kondilin üst konturunu kestiği yer kondilyon superior (Cos), mandibular düzleme dik çizilen teğetin kondilin en arka konturunu kestiği yer kondilyon posterior (Cop) ve bu iki teğetin açı ortayının kondili kestiği yer kondilyon (Co) noktaları olarak belirlendi (Şekil 1) (7). Sefalometrik graflerde çift görüntü veren yapılara ilişkin noktaların saptanmasında ortalamalar dikkate alındı. Her iki durumda alınan sefalometrik grafların çizimleri mandibular yapılarında çakıştırılarak maksimum ağız açıklığında alınan sefalometrik grafe belirlenen Cos, Co ve Cop noktaları sentrik oklüzyonda alınan sefalometrik grafi çizimine aktarıldı (Şekil 2).

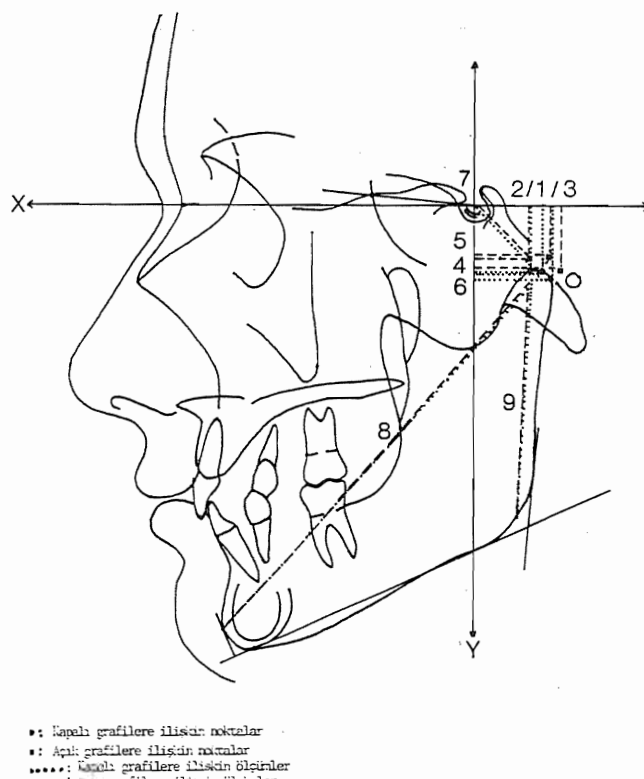
Sella-nasion (SN) düzlemini ve bu düzleme Sella (S) noktasından çizilen dik düzlemin oluşturduğu koordinat sisteminin sentrik oklüzyonda alınan sefalometrik grafi çizimi üzerinde belirlenmesini takiben, her iki durumda



Şekil 1: Kondili Tanımlayan Noktalar.

Tablo I: Araştırmada Kullanılan Parametreler ve Tanımları

Değişken	Tanımı
1) Co-x (mm)	Kondilyon noktasının koordinat sisteminin y doğrusuna (SN düzlemini S noktasından çizilen dik düzlem) dik uzaklığı
2) Cos-x (mm)	Kondilyon süperior noktasının y doğrusuna dik uzaklığı
3) Cop-x (mm)	Kondilyon posterior noktasının y doğrusuna dik uzaklığı
4) Co-y (mm)	Kondilyon noktasının koordinat sisteminin x doğrusuna (SN düzlemini) dik uzaklığı
5) Cos-y (mm)	Kondilyon süperior noktasının x doğrusuna dik uzaklığı
6) Cop-y (mm)	Kondilyon posterior noktasının x doğrusuna dik uzaklığı
7) Cos-S-Erp (°)	Kondilyon süperior, Sella, Ethmoid Registration noktalarından geçen düzlemlerin S noktasında oluşturdukları açı
8) Co-Pg (mm)	Kondilyon noktası ile Pogonion noktası arasındaki uzaklık
9) Cos-Go (mm)	Kondilyon süperior ile Gonion noktası arasındaki uzaklık



Şekil 2: Araştırmada Kullanılan Parametrelere İlişkin Ölçümler.

alınan grafilere ilişkin COs, Co ve Cop noktalarının bu koordinat sistemini oluşturan "X" ve "Y" düzlemlerine uzaklıkları ölçüldü. Bunun yanısıra, sentrik oklüzyonda alınan grafilerde mandibular düzleme göre pogonion (Po), gnoion (Go) ve ethmoid registration (Erp) noktaları belirlendi; her iki durumda elde edilen grafilere ilişkin kondil noktaları da kullanılarak Cos-S-Erp açısı, Co-Pg ve Cos-Go uzaklıklarını ölçüldü (Şekil 1 ve 2) (Tablo I).

Ölçümler 0.5 derece ve 0.5 mm duyarlılığa kadar yapıldı. Boyutsal sefalometrik ölçümle etkiyen %10 düzeyinde olduğu saptanan lateral sefalometrik grafilere ilişkin görüntü büyümesi düzeltildi.

Istatistiksel Yöntem:

Elde edilen verilerin değerlendirilmesinde aşağıdaki biyometrik yöntemlerden yararlanıldı:

1) Alt Çene kondilini tanımlayan noktaların ve dolayısıyla bu noktalardan yararlanılarak oluşturulan sefalometrik değişkenlerin güvenilirliğinin "reliability" değerlendirmesinde biyometrik yöntemlerden olan eleştirlenmiş t-testinden, varyans analizi ile hesaplanan güvenilirlik indeksinden (t), Houston'a (12) göre hesaplanan random metod hatası (Se) ve güvenilirlik katsayılarından "coefficient of reliability" yararlanıldı.

Houston (12) random metod hatanın belirlenmesi için $Se = \text{fark } Sd^2/2$ ve güvenilirlik katsayısının ise $1 - [\text{fark } Sd^2/2 - Se^2]/St^2]$ formülü ile hesaplanması önermiştir. Bu iki formülde de farkın varyansını ikiye bölünmesinin nedeni çizim ve ölçümle rin tekrarı olan iki seriden yalnız birine ilişkin hatanın belirlenmesi içindir. Bu durumda her iki seri hatayı paylaşacaktır. Ancak hata tek bir seriden kaynaklıyor ise veya hatanın büyük bir bölümünün tek bir seri sonucu ortaya çıkan büyük düşündürse yukarıdaki formüllerin sırasıyla $Se^2 = \text{fark } Sd^2$ yani $Se = \text{fark } Sd$ ve $1 - [\text{fark } Sd^2 - Se^2]/St^2]$ şeklinde modifiye edilerek kullanılması daha doğru sonuçlara ulaşılması açısından gereklidir. Bu araştırmada, hem iki seride de random metod hata olduğu ve bu iki serinin hatayı paylaştıkları kabulü ile Houston'un (12) önerdiği formüllere göre hem de bu araştırmada test edilen hipotez gereği kullanımının daha doğru sonuçlar vereceği düşünülen random metod hatanın yalnız kapali grafilerden yani tek bir seriden kaynaklandığını dikkate alan modifiye edilmiş formüllere göre random hatalı ve güvenilirlik katsayısı değerleri hesaplandı ve sonuçlar tüm bu bilgiler doğrultusunda değerlendirildi. Ayrıca Houston(12), tek bir seride ilişkin varyansın total varyansı (St^2) temsil edebileceği kabul ederek iki seride ilişkin ortak bir total varyans hesaplama gereğini duymamıştır. Bu araştırmada da açık ve kapali grafilerde varyansın açık grafilere göre daha yüksek olduğu bulunduğundan ve açık grafiklerdeki metod hata göz ardı edilebilecek ölçüde az olduğundan, total varyansı açık grafilere ilişkin varyansın temsil ettiği kabul edilerek gü-

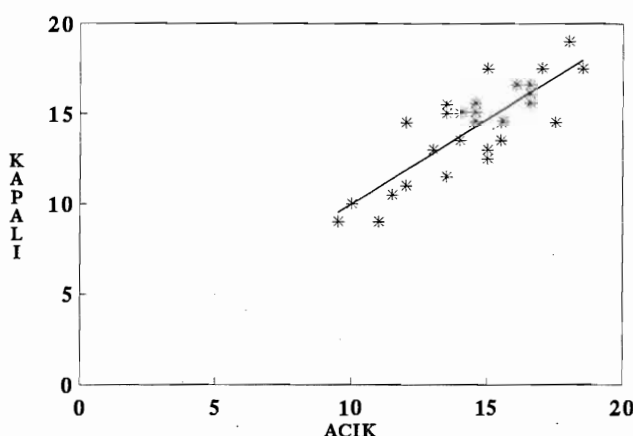
Tablo II: Araştırmada Kullanılan Parametrelere İlişkin Tanımlayıcı İstatistiksel Değerler ile Açık ve Kapalı Grafilere İlişkin Ortalamalar Arası Farkların Önem Kontrolü Sonuçları; Houston'a ve Modifiye Edilen Formüllerle Göre Hesaplanan Metod Hatası Değerleri; Güvenilirlik İndeksi (τ) ve Katsayıları Değerleri.

Değişken (n:30)								S_e	$S_e = \sqrt{\frac{Fark S_d^2}{2}}$	τ	Güvenilirlik Katsayıları	
	\bar{X}	S_x	S_d	Min.	Max.	t	P				$1 - \frac{S_d^2}{S_t^2}$	$1 - \frac{S_d^2/2}{S_t^2}$
								$S_e = S_d$	$1 - \frac{S_d^2}{S_t^2}$	$1 - \frac{S_d^2/2}{S_t^2}$		
1) Co-x (mm)												
Açık	14.5	0.4	2.3	9.5	18.5							
Kapalı	14.2	0.5	2.6	9.0	19.0							
Fark	0.3	0.3	1.4	-2.5	3.0	1.1	0.28	1.4	0.99	0.827	0.629	0.815
2) Cos-x (mm)												
Açık	11.1	0.4	2.3	7.0	15.0							
Kapalı	10.6	0.5	2.5	5.5	14.5							
Fark	0.4	0.3	1.6	-2.5	3.5	1.5	0.14	1.6	1.13	0.782	0.516	0.758
3) Cop-x (mm)												
Açık	17.9	0.4	2.2	13.0	22.0							
Kapalı	17.6	0.5	2.6	12.0	22.0							
Fark	0.3	0.2	1.2	-2.0	3.0	1.5	0.16	1.2	0.85	0.875	0.703	0.851
4) Co-y (mm)												
Açık	17.1	0.7	3.6	10.0	24.5							
Kapalı	17.2	0.6	3.5	11.0	24.0							
Fark	-0.1	0.4	2.4	-4.5	4.5	0.3	0.76	2.4	1.70	0.786	0.556	0.778
5) Cos-y (mm)												
Açık	17.9	0.7	3.5	11.0	25.5							
Kapalı	18.3	0.7	3.6	12.5	26.6							
Fark	-0.4	0.5	2.5	-6.5	4.0	0.9	0.35	2.5	1.77	0.754	0.490	0.745
6) Cop-y (mm)												
Açık	18.5	0.7	3.7	12.0	26.0							
Kapalı	18.7	0.7	3.6	12.5	26.5							
Fark	-0.2	0.4	2.4	-4.5	4.0	0.4	0.73	2.4	1.70	0.789	0.579	0.790
7) Cos-S-Erp (°)												
Açık	125.5	1.4	7.6	110.5	146.0							
Kapalı	123.8	1.6	8.8	106.0	140.5							
Fark	1.7	1.0	5.2	-6.5	13.5	1.8	0.08	5.2	3.68	0.785	0.532	0.766
8) Co-Pg (mm)												
Açık	105.4	0.6	3.5	100.5	112.5							
Kapalı	105.1	0.7	3.7	98.5	112.5							
Fark	0.3	0.4	2.3	-3.0	4.5	0.6	0.56	2.3	1.63	0.796	0.568	0.784
9) Cos-Go (mm)												
Açık	49.3	0.6	3.3	43.5	55.5							
Kapalı	48.9	0.8	4.3	40.0	59.5							
Fark	0.5	0.5	2.5	-4.5	6.5	1.0	0.31	2.5	1.77	0.790	0.426	0.713

venilirlik katsayısı hesaplandı. Aksi halde $1-(Se^2/St^2)$ formülünde paydaya kapalı filmlere ilişkin yüksek varyans değerleri konulsayıdı, ölçüm güvenilirlik katsayıları az da olsa hatalı olarak daha yüksek bulunurdu.

2) Açık ve kapalı grafilere ilişkin ölçüm değerleri arasındaki ilişkiler korelasyon analizi ile incelendi.

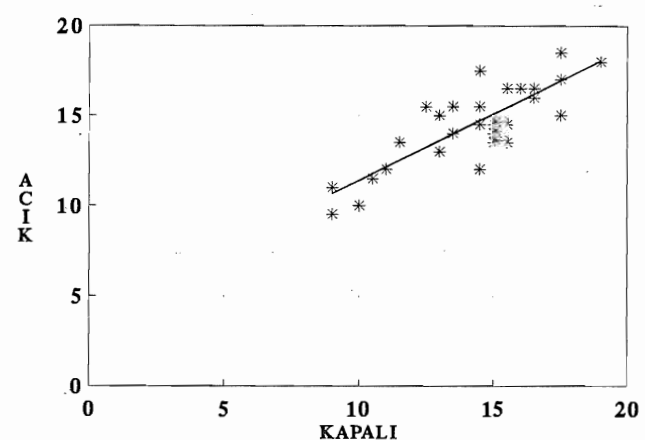
3) Doğrusal tekli regresyon analizinin yardımıyla her değişken için regresyon denklemleri hesaplanarak, regresyon doğruları ve verilerin dağılımını gösteren grafikler çizildi. Hem açık durumda alınan grafilere ilişkin ölçüm değerlerinden (bağımsız değişken) kapalı durumda alınan grafilere ilişkin ölçüm değerlerinin (bağımlı değişken) tahmin edilebilirliği hem de kapalı durumda alınan grafilere ilişkin ölçüm değerlerinden (bağımsız değişken) açık durumda alınan grafilere ilişkin ölçüm değerlerinin (bağımlı değişken) tahmin edilebilirliği ayrı ayrı değerlendirildi.



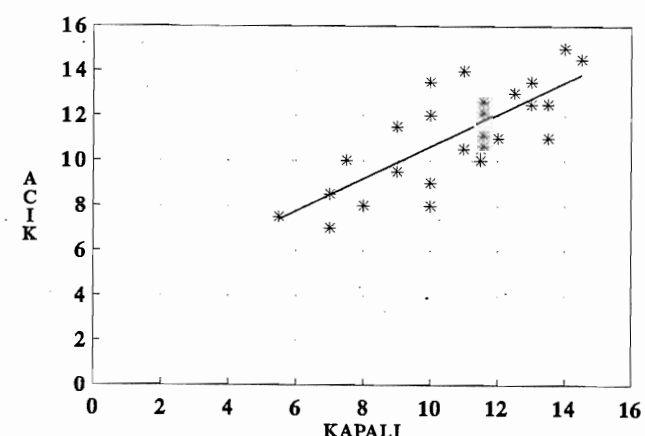
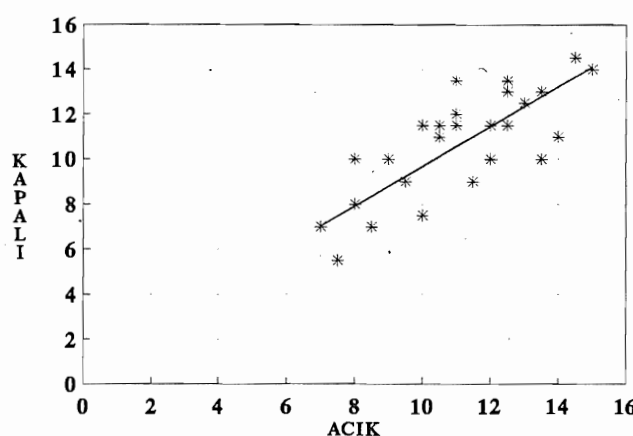
BULGULAR

Araştırma kapsamına alınan 30 bireyden açık ve kapalı durumda elde edilen lateral sefalometrik graflerin çizimleri üzerinde belirlenen alt çene kondil konumunu tanımlayan değişkenlerin ölçüm değerlerine ve aralarındaki farklara ilişkin tanımlayıcı istatistiksel bilgiler ile farklıların biyometrik önem kontrolü sonuçları, güvenilirlik indeksi, (hem Houston'un (12) önerdiği hem de modifiye edilen formüllere göre hesaplanan) random metod hatası ve güvenilirlik katsayıları değerleri Tablo II'de gösterilmiştir.

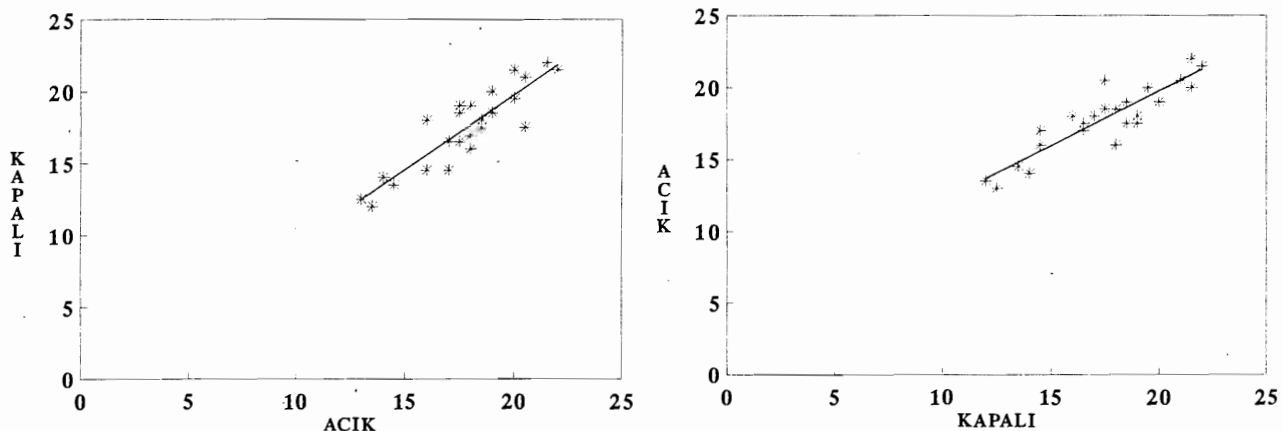
Her değişken için açık ve kapalı graflerde elde edilen ölçüm değerleri arasındaki ilişkinin düzeyini belirleyen korelasyon katsayısı değerleri ile ilişkiye her iki yönde de tanımlayan ikişer regresyon denklemi ve regresyon analizi sonuçları Tablo III'de gösterilmiştir. Ayrıca her değişken için açık ve kapalı graflerde elde edilen ölçüm değerlerinin dağılımı ve regresyon denklemleri sırasıyla Grafik 1-9'da görülmektedir.



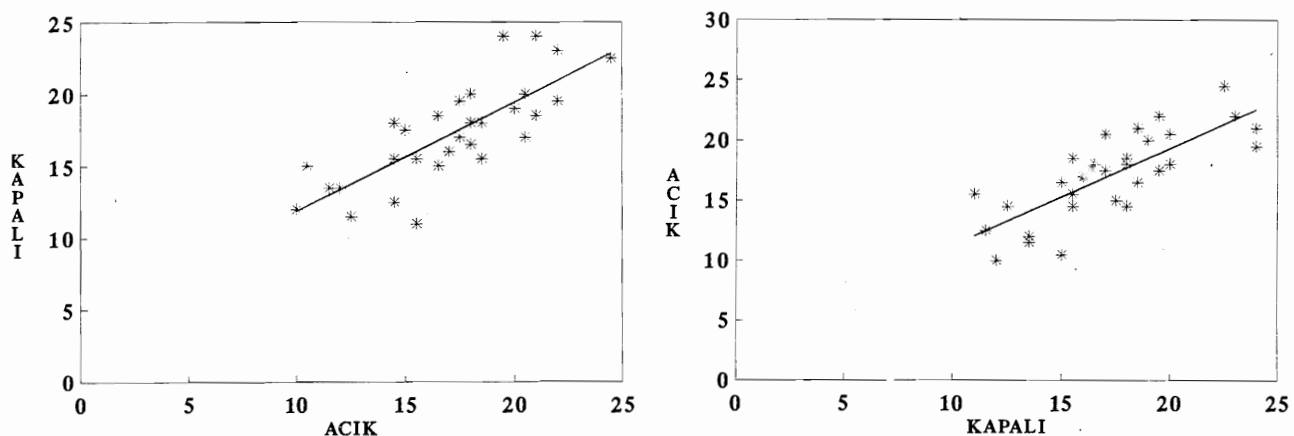
Grafik 1: Co-x Parametresine İlişkin Regresyon Denklemleri ve Değerlerin Dağılımları.



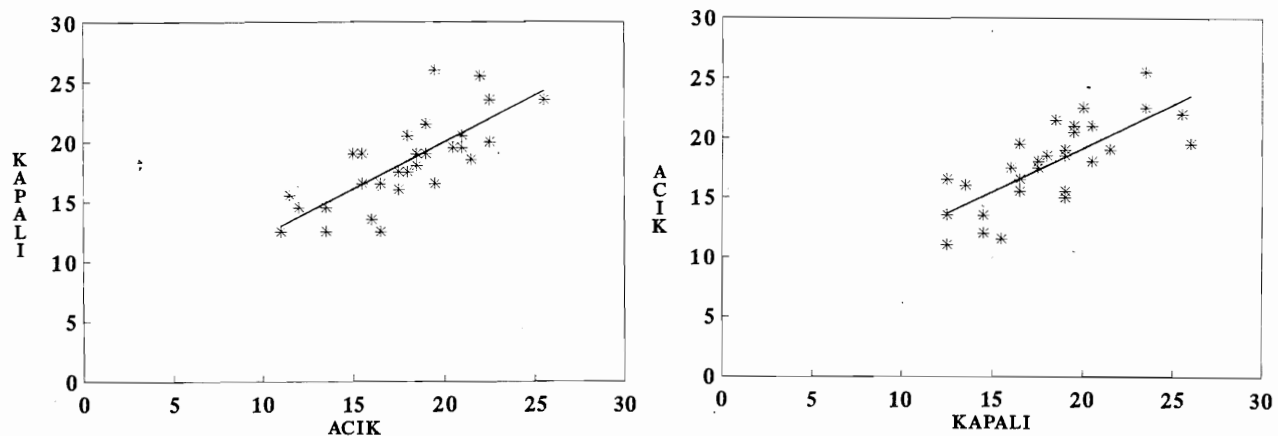
Grafik 2: Cos-x Parâmetresine İlişkin Regresyon Denklemleri ve Değerlerin Dağılımları.



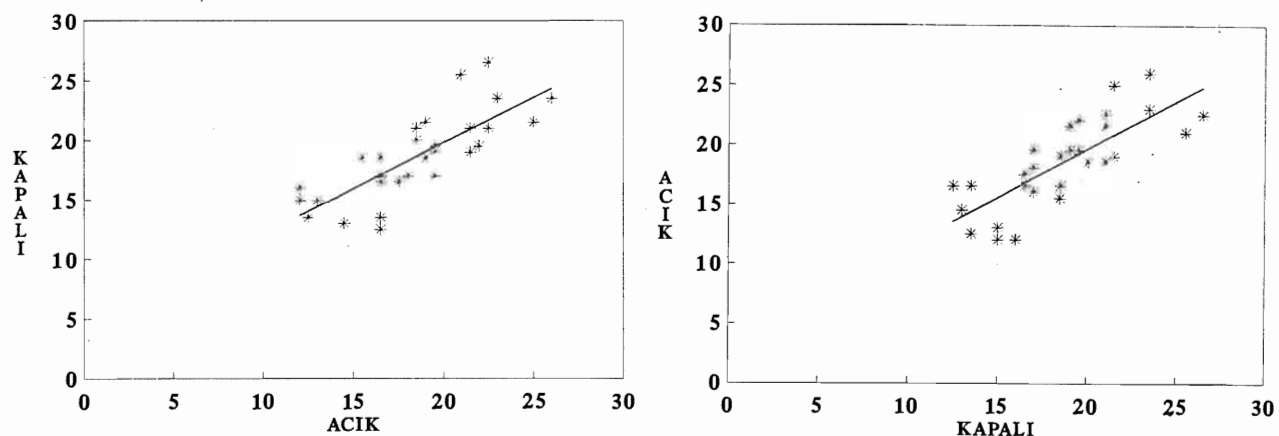
Grafik 3: Cop-x Parametresine İlişkin Regresyon Denklemleri ve Değerlerin Dağılımları



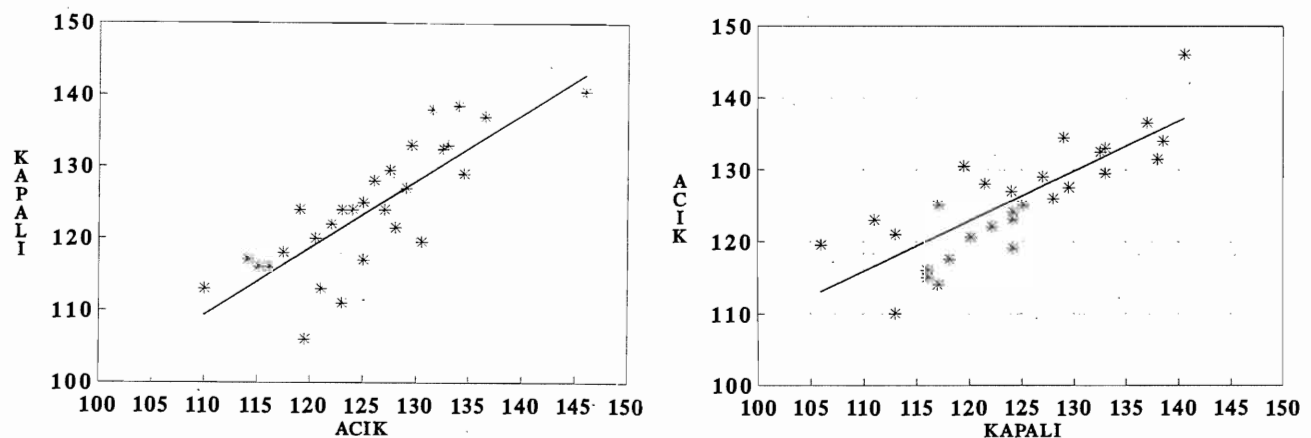
Grafik 4: Co-y Parametresine İlişkin Regresyon Denklemleri ve Değerlerin Dağılımları.



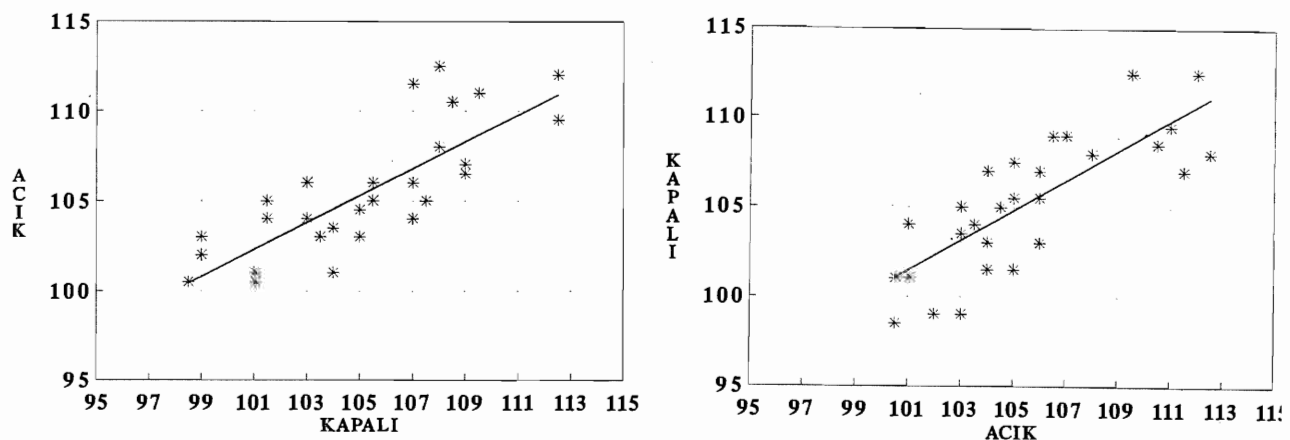
Grafik 5: Cos-y Parametresine İlişkin Regresyon Denklemleri ve Değerlerin Dağılımları.



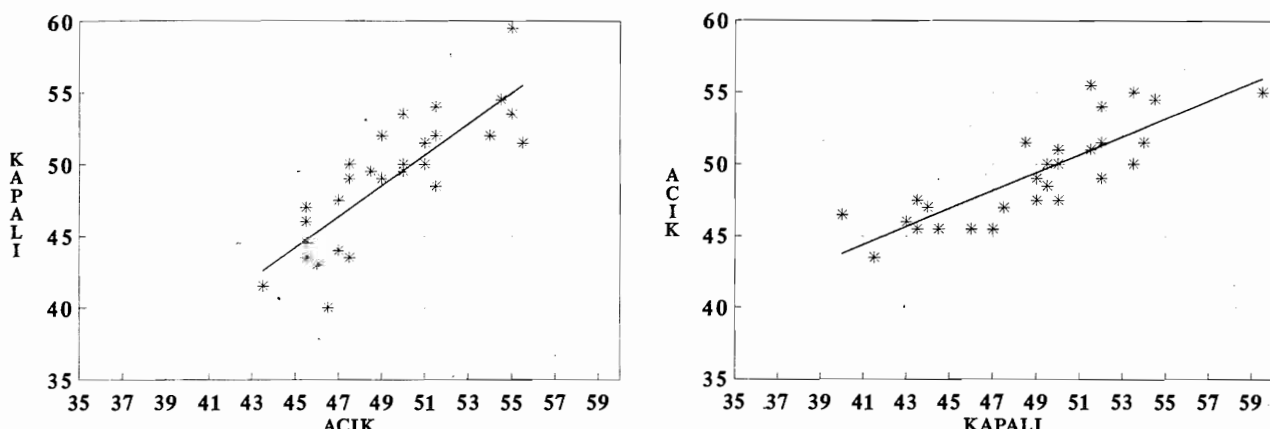
Grafik 6: Cop-y Parametresine İlişkin Regresyon Denklemleri ve Değerlerin Dağılımları.



Grafik 7: Cos-S-Erp Parametresine İlişkin Regresyon Denklemleri ve Değerlerin Dağılımları.



Grafik 8: Co-Pg Parametresine İlişkin Regresyon Denklemleri ve Değerlerin Dağılımları.



Grafik 9: Cos-Go Parametresine İlişkin Regresyon Denklemleri ve Değerlerin Dağılımları.

TARTIŞMA

Bu çalışmada amaç; alt çene kondil bölgesinin net görünümüne olanak sağlayan maksimum ağız açıklığında elde edilen lateral sefalometrik graflerden yararlanarak, aynı bireyden sentrik oklüzonda alınmış lateral sefalometrik graflerde alt çene kondilini tanımlayan noktaların güvenilirliği ile tesbitindeki hata düzeyinin belirlenmesi, aynı bireye ait iki farklı durumda elde edilen graflerde aynı nokta konumlarına ilişkin ölçüm değerleri arasındaki ilişkinin korelasyon ve regresyon analizlerinin yardımıyla tanımlanarak, düzeylerinin belirlenmesi ve bu şekilde maksimum ağız açıklığında alınan sefalometrik grafi kullanmaksızın, sentrik oklüzonda çekilmiş lateral sefalometrik graflerde kondile ilişkin noktaların konumlarının tahmin edilebilirliğinin değerlendirilmesidir.

Regresyon analizinden yararlanılarak maksimum ağız açıklığında sefalometrik grafi alma gerekliliğini ortadan kaldırırmak, hastaların alacağı radyasyon dozunu olabildiğince azaltmak ve sentrik oklüzonda alınan sefalometrik graflerde yapılacak araştırmalarda alt çene kondilini tanımlayan noktaların net görülememesinden kaynaklanan random metod hatalını azaltmak amacıyla yapılan bir araştırmaya literatürde rastlanılamamıştır.

Araştırmmanın amacı gereği, özellikle metod hatasına neden olacak varyasyon kaynaklarını değerlendirmek zorunlu olmuştur. Sentrik oklüzonda alınmış graflerde okcipital kemigin baziller kısmının, orta kranial fossayı oluşturan ve glenoid fossayı çevreleyen yapıların gölgelerinin alt çene kondil konturlarını gizlemesi (9) ile kondilin net görülememesi sonucu ortaya çıkan random metod hatalının belirlenmesi amacıyla bunun dışında ki tüm kontrol edilebilir hata kaynaklarının, graflerin standart şartlarda çekilmesi, tüm graflerin önce iki araştırmacı tarafından ayrı ayrı çizilip ölçülmesi ve daha sonra iki araştırmacının aynı graflere ait çizim ve ölçümleri arasındaki

sapmaların tartışılarak sonuç çizimlerinin oluşturulup ölçümlerin saptanması yoluyla ortadan kaldırılmasına çalışılmıştır. Ayrıca metod hatası kaynaklarının eliminasyonu için her iki durumda elde edilen graflerde mandibular düzleme göre belirlenen kondile ilişkin noktalar mandibular yapılarındaki çakıştırma ile kapalı graflere transfer edilmiş ve kondile ilişkin noktalar dışındaki tüm noktalar bir kez ve kapalı grafler üzerinde işaretlenerek ölçümler kapalı graflerin çizimleri üzerinde oluşturulan koordinat sistemlerine göre yapılmıştır. Ancak kondile ilişkin noktalar ile gonion ve pogonion noktalarının konumlarının belirlenmesinde kullanılan mandibular düzlemin ve en az varyasyon gösteren intrakraniyal referans doğrularından biri olan sella-nasion düzleminin bireyler arasında gösterdiği normal morfolojik bireysel varyasyon nedeniyle kontrol edilemeyecek bir hata ortaya çıkmaktadır. Fakat, açık ve kapalı graflere ilişkin ölçüm değerleri arasındaki farkların dolayısıyla açık graflere göre kapalı graflerde kondile ilişkin noktaların belirlenmesinde ortaya çıkan random metod hatanın saptanması amaçlandığından, bu varyasyon kaynağının ortadan kaldırılamamasının bu çalışmanın bulgularını yatsınabilir düzeyde etkileyebileceğini düşünülmüştür. Bu sistematik hatanın az da olsa korelasyon ve regresyon analizi sonuçlarını etkileyebilmesine karşı bireysel farklılık göstermeyecek bir intrakraniyal referans sistemi olmaması bu hatanın ortadan kaldırılmasını engellemektedir.

Ölçümlerin 0.5 mm ve derece duyarlılığı kadar ölçü mü belli bir hata payını da ortaya çıkarmaktadır. Ancak, Battagel (11) ve Houston'un (12) da vurguladıkları gibi sefalometrik metod hatalarının birincil kaynağı olan noktaların belirlenmesinden doğan hata kaynağı ile karşılaşıldığında bilgisayarla okuyucu (digitizer) kullanmak yerine klasik yöntemle açı ölçer (protraktör) kullanarak çizim ve ölçüm yapmanın hataya katkısı çok çok azdır.

Bu çalışmada, random metot hatasının belirlenmesi ve güvenilirlik katsayısının hesaplanmasıında Houston'un (12) bildirdiği formüllerde değişiklik yapılmasıının nedenleri; alt çene kondiline ait noktaların kapalı grafilerde belirlenmesinde karşılaşılan güçlüğü, açık grafilerde ortadan kalkmasına bağlı olarak bu grafilerden kaynaklanan hatanın gözardı edilebilecek düzeye inmiş olması ve bu çalışmada kondil ileşkin noktaların belirlenmesi dışındaki tüm hata kaynaklarının olabildiğince ortadan kaldırılmasına çalışıldığından açık grafilerde ilişkin random metot hatası düzeyinin de en azı indirilmiş olmasıdır. Adenwalla ve arkadaşları (9), porion ve kondilyon noktalarının güvenilirliğini korelasyon analizi ile değerlendirdikleri sırasında, iki araştırmacıının kondilyona ilişkin kapalı grafilerde yaptıkları ölçümlerin isabet yüzdesinin %54, açık grafilerde ise %96 olduğunu bulmuş olmaları bu düşüncemizi desteklemektedir.

Bu çalışmada, açık ve kapalı grafilerde incelenen değişkenlere ilişkin ortalamalar arası farkların biyometrik olarak önemli bulunmadıkları; güvenilirlik indeksi (τ) değerlerinin 0.754 ile 0.875 arasında değişim göstererek hepsinin 0.001 düzeyinde biyometrik olarak önemli olukları bulunmuştur (Tablo II). Bu bulguların yüksek random metot hatası sonucunda ortaya çıkabileceği (12) gözünde bulundurularak ve diğer bulgular da dikkate alınarak değerlendirilmeleri gerekmektedir. Ayrıca, aynı şekilde 0.001 düzeyde önemli bulunmuş olmalarına karşın güvenilirlik indeks değerleri de yüksek bir hatanın varlığını göstermektedir. Moore ve arkadaşlarının (8), iki tür grafide ölçütleri kondil konumuna ilişkin ortalamalar arasında önemli fark bulmaması bulgularımızı desteklemekle beraber; araştırmacıların, yalnız eşleştirilmiş t-testi sonuçlarına göre açık grafilerin kullanımının kondilyon noktasının lokalizasyonunu önemli ölçüde değiştirmeyeceği doğrultusundaki yorumları kuşku ile karşılanmalıdır. Ayrıca araştırmacılar, açık ve kapalı grafilerde ilişkin ortalamalar arası farkların normal biyolojik varyasyona etkileyen yüksek random metot hata nedeniyle önemli bulunmamış olabileceği gerektiğini göz ardı etmişler ve 5 farklı ortodontistin kondil konumuna ilişkin değerlerinin ortalamasının belirlediği gerçek kondil konumu değerlerinin her bir ortodontistin belirlediği değerlerden farklı alınarak bulunan net sapma bakımından açık ve kapalı grafiler arasında istatistiksel olarak fark bulmuş olmalarına rağmen bu bulguya da dikkate almamışlardır (8).

Bu araştırmmanın eşleştirilmiş t-testine ilişkin bulguları Houston'un (12) da önerdiği gibi 0.10 önemlilik düzeyi dikkate alınarak değerlendirildiğinde; çalışmada kullanılan tek açısal ölçüm olan yalnız Cos-S-Erp değişkenine ilişkin ortalamalar arası farkın 0.10 düzeyinde önemli olduğu ve bu değişkene ilişkin sistematik metot hatanın diğer değişkenlerle kıyaslandığında gørece yüksek olduğu bulunmuştur (Tablo II). Bunun yanısıra aynı değişkene ilişkin random metot hatası güvenilirlik indeksi ve güvenilir-

lik katsayısi değerlerine de bakıldığından, bu değişkene ilişkin random metot hatanın da çok yüksek olduğu bulunmuştur. Bu durumun Cos-S-Erp açısını oluşturan Cos noktasının hem dik hem de ön arkaya yönde gösterdiği varyasyonların kümülatif olarak bu değişkene yansımadan kaynaklanmış olabileceğinin düşünülmektedir. Cos noktası dışında Cos-S-Erp değişkenini oluşturan noktalara yalnız kapalı grafilerde tek kez belirlenmiş olmasına rağmen Cos-S-Erp değişkenin bu denli yüksek metot hatası içermesi nedeniyle kondil konumunun tanımlanmasında açısal ölçümlerden çok boyutsal ölçümlerin kullanılmasının metot hatası payını azaltması bakımından daha doğru olacağı kanaatina varılmıştır. Ayrıca, Cos noktasının oluşturduğu tüm değişkenlere ilişkin random metot hatası, güvenilirlik indeksi ve güvenilirlik katsayıları değerlerinin diğer Co ve Cop noktalarının oluşturduğu değişkenler için bulunan değerlere göre daha yüksek düzeyde hatayı işaret ettikleri bulunmuştur (Tablo II). Diğer yandan, Cos, Co ve Cop noktalarının dik ve ön-arka yön konumlarının belirlenmesinde ortaya çıkan hata karşılaştırıldığında; ilgili noktaların dik yön konumlarının belirlenmesinde hata payının daha yüksek olduğu bulunmuştur (Tablo II). Bu bulgu Moore ve arkadaşlarının (8) bulguları ile uyumludur.

Hatanın her iki durumda elde edilen grafiler arasında eşit olarak dağıldığı düşünürlerek random metot hatası ve güvenilirlik katsayısı hesaplandığında, elde edilen değerlerin sırasıyla 0.85 ile 3.68 ve 0.713 ile 0.851 arasında değişim gösterdikleri bulunmuştur. Diğer yandan, hatanın yalnız kapalı grafilerden kaynaklandığı varsayımla modyifiye edilmiş formüllere göre hesaplanan random metot hatası ve güvenilirlik katsayısı değerlerinin ise sırasıyla 1.2 ile 5.2 ve 0.426 ile 0.703 arasında değişim gösterdikleri bulunmuş ve hatanın çok daha dramatik düzeyde yüksek olduğu görülmüştür (Tablo II).

Metod hatasına ilişkin tüm bulgular birlikte değerlendirildiğinde kapalı grafilerde kondil konumunun belirlenmesindeki metot hatanın biyometrik olarak ispatlanması da kabul edilemeyecek düzeyde yüksek olduğu sonucuna varılmıştır. Bu sonuç Adenwalla ve arkadaşlarının (9) ile Forsberg ve Odérick'in (10) sonuçları ile uyumludur.

Bu çalışmada elde edilen korelasyon ve regresyon analizi sonuçları değerlendirildiğinde açık ve kapalı grafilerde ilişkin ölçüm değerleri arasındaki ilişkinin gücünü gösteren korelasyon katsayısi değerlerinin 0.754 ile 0.890 arasında ve ilişkisi tanımlayan regresyon denklemleri kullanıldığından tahmindeki isabet gücünü gösteren isabet yüzdesi (R^2) değerlerinin %56.8 ile %79.1 arasında değişim gösterdikleri bulunmuştur (Tablo III). Ayrıca hem korelasyon katsayısi hem de isabet yüzdesi değerlerinin 0.001 düzeyinde biyometrik olarak önemli olukları bulunmuştur (Tablo III).

Houston'un (12) da belirttiği gibi random metot hatanın artması değişkenler arasındaki korelasyon gücünün

azalmasına neden olabilmektedir. Fakat beklenenin aksine random metod hatası değerleri yüksek olmasına rağmen bulunan korelasyon katsayısı değerlerinin oldukça yüksek olduğu görülmüştür (Tablo III). Bu durum, Sowell'ün (13) da belirttiği gibi aynı noktayı paylaşan veya aynı bölgede bulunan noktaları içeren değişkenler arasındaki topografik ilişkinin aynı varyasyon kaynaklarından etkilendikleri için biyolojik olarak anlamlı olan nontopografik ilişkinin gücünü etkilemesine bağlı olarak ortaya çıkmış olabilir.

Bağımlı ve bağımsız değişkenlerin yerlerini değiştirerek iki değişken arasındaki ilişkiyi tanımlayan 2 ayrı regresyon denklemi elde etmek mümkündür. Ayrıca, bu iki değişken arasındaki ilişkinin gücü ve hangisi bağımlı veya hangisi bağımsız değişken olursa olsun tahmindeki isabet yüzdesi değerleri değişimmemektedir (14). Ancak tahmindeki isabet yüzdesi değeri olan R^2 değeri 1 olmadığı sürece $y = a + bx$ kapalı denklemi ile $y = a_1 + b_1x$ açık denklemının tanımladığı doğrular birbirine yakın olalar da aynı olmamaktadır (Grafik 1-9) (14). Bu nedenle ve bu araştırma oluşturulan regresyon denklemleri aracılıyla açık grafi alma gerekliliğini ortadan kaldırabilmenin mümkün olup olmadığını değerlendirebilme amacını da taşıdığını, hem y açık= $a+bx$ kapalı denklemi hem de $y = a_1 + b_1x$ açık denklemi oluşturularak değerlendirilmiştir (Tablo III). Yapılan değerlendirme sonucunda R^2 değerleri 1 olmadığından her iki denklemle farklı tahminler yapıldığı görülmüştür (Tablo III). Dolayısıyla, y açık= $a+bx$ kapalı denklemi yerine açık filmlerde kondile konumunun daha hatasız saptanıldığı gerçeği dikkate alınarak ve kapalı grafilerde kondile tanımlayan noktaların belirlenmesine ilişkin random metod hatası değerlerinin yüksek olduğunu bulunmuş olması nedeniyile; y kapalı= $a_1 + b_1x$ açık denkleminin kullanımının daha doğru olacağı sonucuna varılmıştır. Ancak açık grafi almaksızın y kapalı= $a_1 + b_1x$ açık denklemini kullanabilmek için denklemin x açık=(y kapalı - a_1)/ b_1 şeklinde dönüştürülmesi zorunluluğu doğmuştur. Denklemin bu şekilde çevrilerek kullanılmasının minimal düzeyde de olsa tahmindeki isabet yüzdesi değerini azaltabilecegi gerçeği göz ardı edilmemelidir. Bu araştırmada oluşturulan regresyon denklemi kapalı grafilerde kondile ilişkin noktaların belirlenmesinde ortaya çıkan random metod hatası-

lığıyla açık grafi alma gerekliliğini ortadan kaldırabilmenin mümkün olup olmadığını değerlendirebilme amacını da taşıdığını, hem y açık= $a+bx$ kapalı denklemi hem de $y = a_1 + b_1x$ açık denklemi oluşturularak değerlendirilmiştir (Tablo III). Yapılan değerlendirme sonucunda R^2 değerleri 1 olmadığından her iki denklemle farklı tahminler yapıldığı görülmüştür (Tablo III). Dolayısıyla, y açık= $a+bx$ kapalı denklemi yerine açık filmlerde kondile konumunun daha hatasız saptanıldığı gerçeği dikkate alınarak ve kapalı grafilerde kondile tanımlayan noktaların belirlenmesine ilişkin random metod hatası değerlerinin yüksek olduğunu bulunmuş olması nedeniyile; y kapalı= $a_1 + b_1x$ açık denkleminin kullanımının daha doğru olacağı sonucuna varılmıştır. Ancak açık grafi almaksızın y kapalı= $a_1 + b_1x$ açık denklemini kullanabilmek için denklemin x açık=(y kapalı - a_1)/ b_1 şeklinde dönüştürülmesi zorunluluğu doğmuştur. Denklemin bu şekilde çevrilerek kullanılmasının minimal düzeyde de olsa tahmindeki isabet yüzdesi değerini azaltabilecegi gerçeği göz ardı edilmemelidir. Bu araştırmada oluşturulan regresyon denklemi kapalı grafilerde kondile ilişkin noktaların belirlenmesinde ortaya çıkan random metod hatası-

Tablo III: Araştırmada Oluşturulan Regresyon Denklemleri ile Korelasyon Katsayısı (r) ve Regresyon Denklemlerinin Isabet Yüzdesi (R^2) Değerleri.

Değişken	Denklem 1	Denklem 2	r	R^2
1) Co-x (mm)	Açık= $3.96+0.742$ Kapalı	Kapalı= $0.62+0.938$ Açık	0.834***	%69.6***
2) Cos-x (mm)	Açık= $3.47+0.714$ Kapalı	Kapalı= $0.84+0.885$ Açık	0.795***	%63.2***
3) Cop-x (mm)	Açık= $4.55+0.760$ Kapalı	Kapalı= $-1.06+1.04$ Açık	0.890***	%79.1***
4) Co-y (mm)	Açık= $3.21+0.806$ Kapalı	Kapalı= $4.30+0.756$ Açık	0.781***	%60.9***
5) Cos-y (mm)	Açık= $4.54+0.729$ Kapalı	Kapalı= $4.37+0.780$ Açık	0.754***	%56.8***
6) Cop-y (mm)	Açık= $3.40+0.810$ Kapalı	Kapalı= $4.61+0.759$ Açık	0.784***	%61.4***
7) Cos-S-Erp (°)	Açık= $3.91+0.698$ Kapalı	Kapalı= $6.90+0.931$ Açık	0.806***	%65.0***
8) Co-Pg (mm)	Açık= $26.7+0.748$ Kapalı	Kapalı= $16.6+0.840$ Açık	0.793***	%62.9***
9) Cos-Go (mm)	Açık= $18.9+0.623$ Kapalı	Kapalı= $-4.28+1.08$ Açık	0.820***	%67.2***

ni elime etmek amacıyla kullanıldığından cinsiyet, büyümeye ve gelişim ile kondil formunun bireyler arasında değişim göstermesinin de dentofasiyal anomalii tipinin çok fazla hatanın ortaya çıkmasına neden olmayacağı kanatına varılmıştır.

SONUÇ

1- Kondile ilişkin random metod hatası, güvenilirlik katsayıısı ve indeksi değerleri değerlendirildiğinde; kondile ilişkin noktaların kapalı grafilerde belirlenmesinde random metod hatanın yüksek olduğu ve güvenilirliğinin kabul edilemeyecek düzeyde yüksek olduğu,

2- Genellikle kondile ilişkin noktaların dik yön konumlarının belirlenmesinde hatanın daha yüksek olduğu ve noktaların hem dik hem de ön arkaya yön konumlarından etki-

lenebilecek parâmetrelerin kondile ilişkin araştırmalarda kullanılmasından kaçınılması gerektiği,

3- Oluşturulan denklemelerin yapılacak araştırmalarda düzeltme için kullanılmaması bile, kapalı grafilerde noktalar belirlendikten sonra hesaplanan (%10 magnifikasyon çiktıları) metod hata payları dikkate alınarak kondile ilişkin nokta konumlarının değerlendirilmesinin ve bunu takiben gerek görüldüğünde konumlarının yeniden belirlenmesinde kullanılanlarının faydalı olabileceği sonucuna varılmıştır.

TEŞEKKÜR

Bu çalışmada katkıları olan A.Ü. Ziraat Fakültesi Biometri ve Genetik Anabilim Dalı Öğretim Üyesi Prof. Dr. Fikret GÜRBÜZ ve Dr. Ensar BAŞPINAR'a teşekkür ederiz.

YARARLANILAN KAYNAKLAR

- 1- Baumrind S, Korn EL Pattern of Change in mandibular and Facial Shape Associated with the Use of Forces to Retract the Maxilla. Am J Orthodont 80:31-47 1981
- 2- Braumrind S, Korn EL, Molthen R, West EE Changes in Facial dimensions Associated With the Use of Forces to Retract the Maxilla. Am J Orthodont 80: 17-30 1981
- 3- İşcan HN, Dinçer M Servikal Headgear'in Alt Çene Kondil Büyüme Modeli ve Çene-Yüz İskelet Morfolojisine Etkisi. Türk Ortodonti Derg 1: 22-29 1988
- 4- İşcan HN, Dinçer M, Gültan AS Servikal Headgear ile Tedaviye Karşı Alt Çenede Görülen Yapısal Kompanzasyonun Araştırılması. Türk Ortodonti Derg 2: 287-298 1989
- 5- Williams S, Melsen B Condylar Development and Mandibular Rotation and Displacement During Activator Treatment An Implant Study. Am J Orthodont 81: 322-326 1982
- 6- Ülgen M, İşcan HN, Gögen H Klas II, 1 Vakalarının Servikal Headgear ile Tedavisinde Alt Çene Morfoljisinde Oluşan Değişiklikler. Türk Ortodonti Derg 3: 71-78 1990
- 7- Stickel A, Pancherz H Can 'Articulare' be Used in the Cephalometric Analysis of Mandibular length. A Methodologic Study. Europ J Orthodont 10: 362-368 1988
- 8- Moore RN, DuBois LM, Boice PA, Igel KA The Accuracy of Measuring Conylion Location. Am J Orthodont Dentofac Orthop 95: 344-347 1989
- 9- Adenwalla ST, Kronwan JH, Atarzadeh F Porion and Condyle as Cephalometric Landmarks An Error Study Am J Orthodont Dentofac Orthop 94: 411-415 1988
- 10- Farsberg CM, Oderick L Identification of the Cephalometric Reference Point Conylion on Lateral Head Films. Angle Orthodontist 59: 123-130 1989
- 11- Battagel JM A Comparative Assessment of Cephalometric Errors. European Journal of Orthodontics 15: 305-314 1993
- 12- Houston WJB The Analysis of Errors in Orthodontic Measurements. Am J Orthodont 83: 382-390 1983
- 13- Solow B The Pattern of Craniofacial Associations. A Morphological and Methodological Correlation and Factor Analysis Study on Young Male Adults. Acta Odont Scand Suppl 46 Vol 24 1966
- 14- Edwards AL An Introduction to Linear Regression and Correlation. Sec Ed WH Freeman and Company New York 1984

YAZIŞMA ADRESİ:

Hakan N. İŞCAN
Gazi Üniversitesi
Dishekimliği Fakültesi
Ortodonti Anabilim Dalı,
Emek 06510, Ankara/Türkiye